

ВИЗУАЛИЗАЦИЯ ПРОЦЕССОВ КРИСТАЛЛИЗАЦИИ В ПРИСТЕНОЧНОМ СЛОЕ КАПЛИ ВОДЫ

И. Н. ПАВЛОВ, Б. С. РИНКЕВИЧЮС, А. В. ТОЛКАЧЕВ

Национальный исследовательский университет «МЭИ»,
Москва, Россия, e-mail: rinkevbs@mail.ru

Рассмотрено применение метода нарушенного полного внутреннего отражения для визуализации и исследования процесса кристаллизации воды в тонком (порядка сотен нанометров) пристеночном слое.

Ключевые слова: нарушенное полное внутреннее отражение, кристаллизация, визуализация, пограничный слой.

The application of disturbed total reflection method for visualization and study of the water crystallization process in the thin (about hundreds of nanometers) near-wall layer is considered.

Key words: frustrated total internal reflection, crystallization, visualization, boundary layer.

Метод нарушенного полного внутреннего отражения (НПВО) [1] давно известен и широко используется для измерения показателя преломления различных сред. Ранее он был применен авторами для визуализации неоднородных пристеночных потоков жидкостей в кювете, плоском и Т-образном микроканалах, а также для анализа испарения, охлаждения и растекания капли жидкости на горизонтальной подложке [2 – 4]. В последние годы возрос интерес к исследованию процесса кристаллизации воды при различных предварительных воздействиях на нее. Несмотря на многочисленные исследования по этой теме, сам механизм так и не изучен до конца [5]. Исследование кристаллизации капли с помощью микроскопа по обычной методике позволяет получить информацию только о форме, но не позволяет рассмотреть контактный слой капли с поверхностью, что возможно при помощи НПВО.

Предлагаемый метод основан на явлении НПВО и позволяет регистрировать малые изменения показателя преломления капли в тонком слое толщиной порядка сотен нанометров вблизи поверхности подложки при угле падения излучения, близком к критическому углу полного внутреннего отражения (ПВО). Суть метода состоит в следующем. Лежащая на охлаждающей поверхности капля с показателем преломления n_2 соприкасается с горизонтальной границей раздела стеклянной призмы n_1 и воздуха n_3 , где охлаждается и кристаллизуется. Поверхность призмы освещается широким параллельным лазерным пучком, падающим под углом θ_i , большим критического угла ПВО для границы стекло–воздух, но меньшим для границы стекло–жидкость, т. е. $n_3/n_1 < \sin\theta_i < n_2/n_1$, так как условие ПВО для жидкости не выполняется, то коэффициент отражения для части пучка, отраженной от капли, меньше чем для части пучка, отраженной от воздуха, который равен единице.

Оптимальным с точки зрения чувствительности метода является случай с поляризацией падающего излучения, параллельной плоскости падения [3], поэтому в дальнейшем будем рассматривать его, тогда формула для энергетического коэффициента отражения будет иметь вид

$$\rho_{||}(x,y) = \operatorname{tg}^2 \left[\theta_i - \arcsin \left(\frac{n_1}{n_2(x,y)} \sin \theta_i \right) \right] / \operatorname{tg}^2 \left[\theta_i + \arcsin \left(\frac{n_1}{n_2(x,y)} \sin \theta_i \right) \right],$$

где θ_i – угол падения лазерного пучка; n_1 – показатель преломления призмы; $n_2(x, y)$ – распределение показателя преломления жидкости на границе раздела.

Таким образом, в отраженном свете на светлом фоне пучка, отраженного от границы с воздухом, видно темное изображение капли и визуализируется положение капли и ее размер. По измерению коэффициента отражения $\rho_{||}$ от капли для заданного угла θ_i можно судить о показателе преломления жидкости n_2 . На рис. 1 показаны расчетные графики зависимости коэффициента отражения от показателя преломления жидкости для различных углов падения пучка θ_i при показателе преломления призмы $n_1 = 1,5677$. Из рис. 1 следует, что коэффициент отражения сильно зависит от показателя преломления жидкости вблизи критического угла, составляющего для данной призмы $58,036^\circ$.

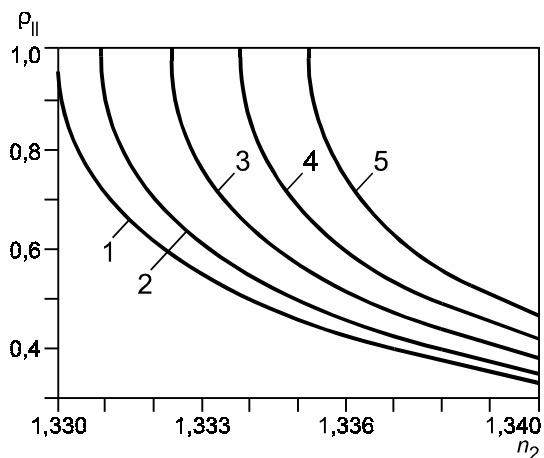


Рис. 1. Графики зависимости коэффициента отражения от показателя преломления жидкости:

$1 - \theta_i = 58,036^\circ; 2 - \theta_i = 58,1^\circ; 3 - \theta_i = 58,2^\circ; 4 - \theta_i = 58,3^\circ; 5 - \theta_i = 58,4^\circ$

Схема экспериментальной установки представлена на рис. 2. Излучение лазера 8 проходит через оптическую установку расширителя пучка 7, представляющую собой телескопическую систему из двух собирающих линз с разными фокусными расстояниями и пространственный фильтр в виде точечной диафрагмы. Расширенный коллимированный пучок, пройдя через боковую поверхность призмы 5, отражается от ее основания, контактирующего с исследуемой каплей жидкости 4. Угол отражения соответствует условию ПВО для границы призма–воздух. Далее отраженный пучок попадает на диффузно рассеивающий экран 3, изображение на котором регистрируется с помощью цифровой видеокамеры 2 и затем обрабатывается на компьютере 1. Капля создается с помощью микродозатора и располагается на охлаждающей поверхности элемента Пельтье 6. Поверхности призмы и элемента Пельтье выставляют горизонтально параллельно друг другу, величину зазора между ними регулируют с помощью микрометрического винта с шагом 2 мкм. Основание призмы, контактирующее с исследуемой каплей, освещается широким коллимированным пучком лазерного излучения, падающим под углом, близким к критическому углу ПВО для границы раздела призмы с каплей. В качестве источника

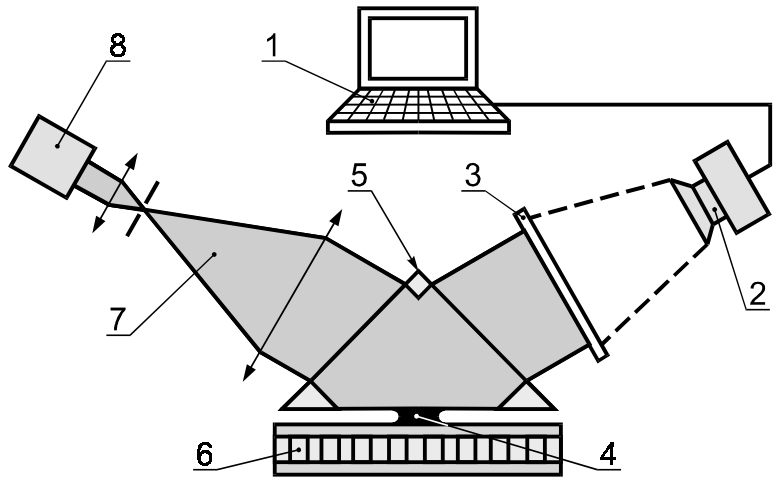


Рис. 2. Схема экспериментальной установки:
1 – компьютер; 2 – цифровая камера; 3 – экран; 4 – капля; 5 – призма;
6 – элемент Пельтье; 7 – расширитель пучка; 8 – лазер

излучения в установке используется полупроводниковый лазер мощностью 3 мВт с длиной волны излучения 655 нм. Оптическая система для формирования широкого коллимированного лазерного пучка диаметром 40 мм состоит из положительных двух линз с разными фокусными расстояниями и пространственного фильтра – точечной диафрагмы. Стеклянная прямоугольная призма имеет показатель преломления $n = 1,5677$ для $\lambda = 655$ нм. Отраженный пучок регистрируется с помощью цифровой видеокамеры Видеоскан-285/K-USB с частотой съемки 7 кадров/с и разрешением 1392×1040 пикселов, дающей черно-белые изображения в формате *.bmp. Для цифровой регистрации и обработки полученных рефрактографических изображений установлен пакет прикладных программ. Созданная установка фиксирует изменение показателя преломления жидкости в четвертом знаке после запятой.

Хорошо известно, что параметры процесса кристаллизации капли на поверхности зависят от характеристик самой поверхности. Шероховатость поверхности стеклянной призмы, использовавшейся в экспериментах, измеряли во ВНИИОФИ с помощью интерференционного микроскопа фирмы Zugo. Средний параметр шероховатости

поверхности RMS составил 5,8 нм. Температура поверхности элемента Пельтье вблизи капли регистрируется с помощью термопары и записывается на компьютере. На рис. 3 приведен пример полученных таким образом зависимостей температуры от времени в процессе охлаждения капли. Кривая получена при токе через элемент 1,4 А и подаваемом на него напряжении 8,8 В. Пример полученных изображений контактного пятна капли для зазора между призмой и элементом Пельтье 1,5 мм приведен на рис. 4, *a – e*, объем капли – 10 мкл. Контактный слой капли с призмой имеет разную структуру при кристаллизации для разных высот капли. Для больших значений (1 – 1,5 мм) величины зазора между призмой и элементом Пельтье имеет место образование крупных, радиально направленных пузырьков воздуха в виде вытянутых эллипсов в контактном слое с призмой (призма расположена сверху капли). Для меньших значений (0,3 – 0,7 мм) образуется мелкочастистая структура (вкрапления пузырьков воздуха во льду) по краям капли, а в центре – большой пузырь воздуха, не нарушающий ПВО. При этом в отличие от наблюдения за кристаллизацией капли в микроскоп, метод НПВО позволяет определить, в каком месте капли находится каждая из фаз – воздух, вода и лед – по соответствующему коэффициенту отражения.

Если величина зазора составляла 0,1 мм, то капля растекалась тонкой пленкой внутри него. В этом случае при ее охлаждении образовы-

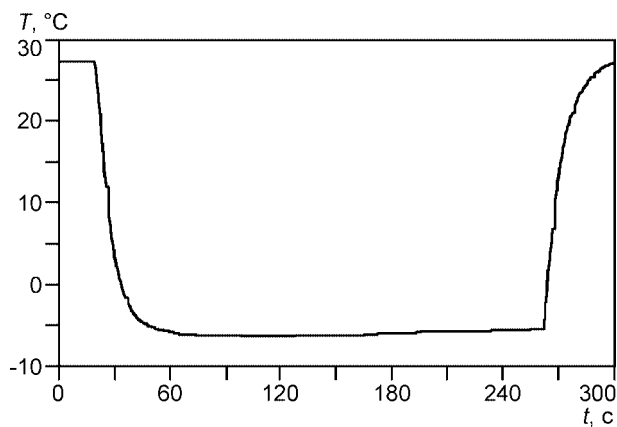


Рис. 3. График зависимости температуры охлаждающей поверхности элемента Пельтье от времени

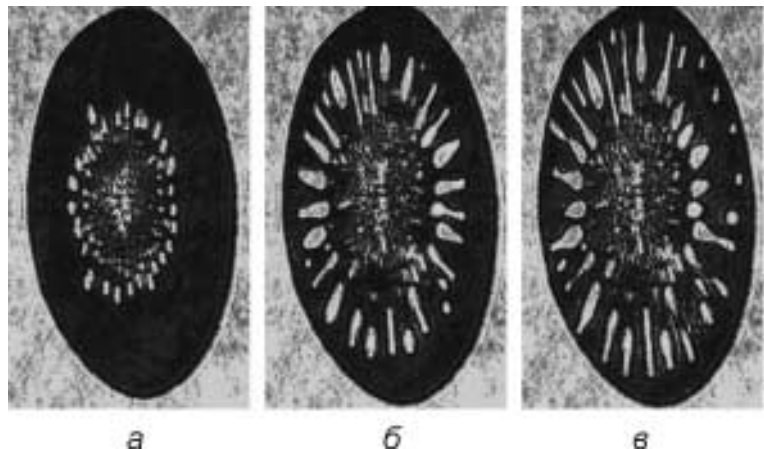


Рис. 4. Изображения контактного слоя кристаллизующейся капли с призмой для разных моментов времени (от начала охлаждения), полученные с помощью метода НПВО при величине зазора между призмой и элементом Пельтье 1,5 мм

вался практически ровный фронт кристаллизации, двигающийся от одного края призмы к другому.

Таким образом, была создана установка для визуализации фазовых переходов в пограничном слое жидкости. При проведении экспериментов визуализации процесса кристаллизации капли дистиллированной воды на поверхности элемента Пельтье с помощью метода нарушенного полного внутреннего отражения широкого лазерного пучка, были выявлены следующие особенности:

контактный слой капли с призмой имеет разную структуру при кристаллизации для разных высот капли, определяющихся зазором между элементом Пельтье и измерительной призмой;

при уменьшении зазора капля превращается в тонкую пленку, в ней при замерзании распространяется фронт кристаллизации от одного края поверхности к другому. Его скорость движения легко определяется с помощью данного метода;

в отличие от наблюдения в микроскоп, метод НПВО позволяет определить местоположение каждой из фаз – воздуха, воды и льда – в пристеночном слое по соответствующему коэффициенту отражения и воспроизвести динамику фазовых переходов.

Работа выполнена при поддержке РФФИ (грант № 12-08-31208).

Л И Т Е Р А Т У Р А

1. **Лейкин М. В., Молочников Б. И.** Отражательная рефрактометрия. Л.: Машиностроение, 1983.
2. **Павлов И. Н., Ринкевичюс Б. С., Толкачев А. В.** Лазерный визуализатор неоднородности пристеночных слоев жидкости // Измерительная техника. 2010. № 10. С. 33 – 35; **Pavlov I. N., Rinkevichyus B. S., Tolkachev A. V.** Laser visualizer of inhomogeneities in near-wall layers of a liquid // Measurement Techniques. 2011. V. 53. N 10. P. 1130 – 1134.
3. **Павлов И. Н.** Особенности визуализации перемешивания жидкостей по нарушенному полному внутреннему отражению // Тез. докл. науч.-техн. конф.-семинара по фотонике и информационной оптике. М.: НИЯУ МИФИ, 2011. С. 30.
4. **Pavlov I. N., Rinkevichyus B. S., Tolkachev A. V.** Visualization of physical processes in liquid drops on horizontal surface // Proc 15th Inter. Symp. Flow Visualization. Minsk (Belarus), 2012. N 018. P. 8.
5. **Moore E. B., Molinero V.** Structural transformation in supercooled water controls the crystallization rate of ice // Nature. 2011. V. 479. P. 506 – 508.

Дата принятия 01.03.2013 г.